

Ⓐ 99

**GAS-CARBON REACTIONS:  
STUDIES OF NO AND N<sub>2</sub>O ON MICRO 850 GRAPHITE**

Mr. Sutee Wongtanakitcharoen

A Thesis Submitted in Partial Fulfillment of the Requirements

for the Degree of Master of Science

The Petroleum and Petrochemical College, Chulalongkorn University

in Academic Partnership with

The University of Michigan, The University of Oklahoma

and Case Western Reserve University

1999

ISBN 974-331-908-5

119584841

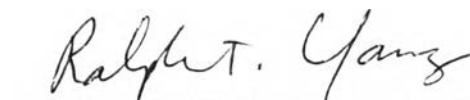
**Thesis Title** : Gas-Carbon Reactions:  
Studies of NO and N<sub>2</sub>O on Micro 850 Graphite  
**By** : Mr. Sutee Wongtanakitcharoen  
**Program** : Petrochemical Technology  
**Thesis Advisors** : Prof. Ralph T. Yang  
Dr. Thirasak Rirkosomboon

---

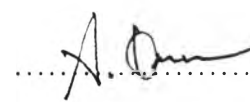
Accepted by the Petroleum and Petrochemical College, Chulalongkorn University, in partial fulfillment of the requirements for the Degree of Master of Science.

 ..... College Director  
(Prof. Somchai Osuwan)

**Thesis Committee**

 .....  
(Prof. Ralph T. Yang)

 .....  
(Dr. Thirasak Rirkosomboon )

 .....  
(Prof. Somchai Osuwan)

## ABSTRACT

##971022 : PETROCHEMICAL TECHNOLOGY PROGRAM

KEY WORDS : Nitric oxide/Nitrous oxide/Graphite/Carbon  
gasification/Turnover frequency/TGA

Sutee Wongtanakitcharoen: Gas-Carbon Reactions:  
Studies of NO and N<sub>2</sub>O on Micro 850 Graphite. Thesis Advisors : Prof. Ralph T. Yang and Dr. Thirasak Rirksomboon 63 pp ISBN 974-331-908-5

The kinetics of carbon gasification in NO and N<sub>2</sub>O were studied in a thermogravimetric system by isothermal techniques. The carbon sample employed was Micro 850 graphite which has well defined crystal dimensions. Since the edge sites of the graphite were confirmed to be the active sites, the rate based on per active site or turnover frequency (TOF) was determined in this work. The reactions were studied in a temperature range of 500-750 °C and a reactant concentration of 6-40%. For the NO reaction, both the temperature and NO concentration had affected on the TOF. The results of 6% NO concentration showed that there was a significant increase in the activation energy with increasing temperature. The transition temperature was observed in an Arrhenius plot at about 644 °C. However, the transition temperature could not be observed on the plots of other NO concentrations. The reduction of NO by graphite was a first-order reaction with respect to NO partial pressure. For the N<sub>2</sub>O reaction, the results indicated that the transition temperature on an Arrhenius plot could not be found in the temperature range of 500-750 °C. The reaction between graphite and nitrous oxide has the reaction order with respect to N<sub>2</sub>O partial pressure near unity. At above 675 °C the rates of carbon gasification in N<sub>2</sub>O were higher than those in NO when the results of N<sub>2</sub>O-carbon reaction were compared to those of NO-carbon reaction.

## บทคัดย่อ

สุธี วงศ์ธนากิจเจริญ: ปฏิกริยาระหว่างก๊าซและการบอน: การศึกษา ก๊าซ ในตระกอกออกไซด์ และก๊าซ ในตระสอกไชด์ กับกราไฟฟ์ในโคล 850 (Gas-Carbon Reactions: Studies of NO and N<sub>2</sub>O on Micro 850 Graphite) อ. ที่ปรึกษา: ศ. ราพ ที หงษ์ และ ดร. ธีรศักดิ์ ฤกษ์สมบูรณ์ หน้า ISBN 974-331-908-5

การทดลองนี้ เป็นการศึกษาด้านจลนพลาสตร์ ของปฏิกริยาระหว่างการบอน กับ ก๊าซ ในตระกอกออกไซด์ และการบอน กับ ก๊าซ ในตระสอกไชด์ โดยใช้เครื่องวิเคราะห์เทอร์โมกราฟิเมติก (Thermogravimetric Analyzer, TGA) เป็นเครื่องปฏิกรณ์ อาศัยเทคนิค อุณหภูมิ ของปฏิกริยา คงที่ ตัวอย่างที่ใช้ในการศึกษานี้ คือ กราไฟฟ์ ในโคล 850 ที่มีโครงสร้างผลึกที่แน่นอน เนื่องจากอ่อนต่อน ด้านข้าง (edge sites) ของกราไฟฟ์ เป็นตำแหน่งที่เกิดปฏิกริยา เทียบต่อพื้นที่ที่ทำปฏิกริยา ได้ทำการ ศึกษาในช่วง อุณหภูมิ 500-750 องศาเซลเซียส และ ความเข้มข้น ของสารตั้งต้น ที่ใช้อยู่ ในช่วงร้อย ละ ถึง 40 สำหรับปฏิกริยาระหว่างการบอน กับ ก๊าซ ในตระกอกออกไชด์ จากการทดลองพบว่า อุณหภูมิ และ ความเข้มข้น ของ ก๊าซ ในตระกอกออกไชด์ มีผลต่อ อัตราการเกิดปฏิกริยา เทียบต่อพื้นที่ที่ทำปฏิกริยา ผลการทดลอง ที่ ความเข้มข้น ในตระกอกออกไชด์ ร้อยละ 6 พบร่วมกับการเปลี่ยน ความชัน ของ กราฟ อาร์เรนิส (Arrhenius plot) โดยค่า พลังงาน กระตุ้น ของปฏิกริยา เพิ่มขึ้น ที่ อุณหภูมิ ประมาณ 644 องศาเซลเซียส แต่ เมื่อพับการเปลี่ยนแปลง ของค่า พลังงาน กระตุ้น ในการทดลอง ที่ ความเข้มข้น ของ ก๊าซ ในตระกอกออกไชด์ ร้อยละ 20 และ 40 นอกจากนี้ ยังพบว่า ปฏิกริยา ดังกล่าว เป็นปฏิกริยา อันดับหนึ่ง เมื่อเปรียบเทียบ กับ ความเข้มข้น ของ ในตระกอกออกไชด์ สำหรับปฏิกริยาระหว่างการบอน กับ ก๊าซ ในตระสอกไชด์ จากการทดลอง ที่ ให้เห็นว่า ไม่พับการเปลี่ยนแปลง ของค่า พลังงาน กระตุ้น ในช่วง อุณหภูมิ ระหว่าง 500-750 องศาเซลเซียส นอกจากนี้ ยังพบว่า ปฏิกริยาระหว่าง การบอน และ ก๊าซ ในตระสอกไชด์ มี อันดับ ของปฏิกริยา เมื่อเทียบ กับ ความเข้มข้น ของ ก๊าซ ในตระสอกไชด์ เท่ากัน จากรезультатการทดลอง ยังแสดง ให้เห็น อีกว่า ที่ อุณหภูมิ ประมาณ 675 องศาเซลเซียส อัตราการเกิดปฏิกริยา เทียบต่อพื้นที่ที่ทำปฏิกริยาระหว่างการบอน กับ ก๊าซ ในตระสอกไชด์ เมื่อเปรียบเทียบ อัตราการเกิดปฏิกริยา เทียบต่อพื้นที่ที่ทำปฏิกริยาระหว่างในตระกอกออกไชด์ และ ในตระสอกไชด์

## ACKNOWLEDGMENTS

This research work could not have been appeared if the assistance of the individuals and organizations had not occurred.

First, I would like to thank so much Prof. Ralph T. Yang of University of Michigan, Ann Arbor, for his invaluable suggestions. Also, I would like to express my great gratitude to Dr. Thirasak Rirksomboon of the Petroleum and Petrochemical College (PPC), Bangkok, for his helpful advice. I deeply appreciate Ms. Thanyarat Tatikiatisakun who provided me useful information and taught me the special techniques employed in this work. In addition, I would like to sincerely thank the PPC staff for their assistance. Acknowledgements are also extended to all my friends who give me their kindness. Finally, this work would not have been possible if the lack of encouragement from my parents would have been appeared. Thank you very much.

## TABLE OF CONTENTS

	PAGE
Title Page	i
Abstract (in English)	iii
Abstract (in Thai)	iv
Acknowledgments	v
Table of Contents	vi
List of Tables	x
List of Figures	xii
 <b>CHAPTER</b>	
<b>I           INTRODUCTION</b>	<b>1</b>
 <b>II          LITERATURE SURVEY</b>	
2.1   Oxides of Nitrogen	3
2.2   NO, N <sub>2</sub> O and the Environment	3
2.3   Sources of Atmospheric NO and N <sub>2</sub> O	5
2.3.1 Natural Sources	5
2.3.2 Anthropogenic Sources	5
2.4   The Formation and Reduction of NO and N <sub>2</sub> O during Combustion of Coal	7
2.5   NO and N <sub>2</sub> O Abatement Strategies	9
2.5.1 Minimisation of Pollutant Emissions through Improvements in Operating Conditions and Process Control of Boilers	9

CHAPTER	PAGE
2.5.2 Innovative Combustion Design to Produce Low-Emission Systems	10
2.5.3 Sacrificing Emissions of One Pollutant for the Sake of Low Emissions of the Others, Combined with Adopting Special Measures to Reduce Excessive Levels of the Selected Pollutant	10
2.6 Carbon Gasification	11
2.6.1 C-O <sub>2</sub> Reaction	11
2.6.2 C-H <sub>2</sub> O Reaction	12
2.6.3 C-NO and C-N <sub>2</sub> O Reaction	12
2.7 Carbon	13
2.7.1 Diamond	13
2.7.2 Graphite	13
2.8 Overall Reaction Schemes	15
2.8.1 Carbon-Nitric Oxide Reaction	15
2.8.2 Carbon-Nitrous Oxide Reaction	16
2.9 Thermogravimetric Analysis	17
2.10 Kinetic Studies	17
2.10.1 Turnover Frequency	17
2.10.2 Reaction Order	17
2.10.2.1 Carbon-Nitric Oxide Reaction	17
2.10.2.2 Carbon-Nitrous Oxide Reaction	18
2.10.3 Activation Energy	18
2.10.3.1 Carbon-Nitric Oxide Reaction	18

CHAPTER	PAGE
2.10.3.2 Carbon-Nitrous Oxide Reaction	19
<b>III EXPERIMENTAL SECTION</b>	<b>21</b>
3.1 Materials	21
3.2 Experimental Apparatus	22
3.2.1 Gas Mixing Section	22
3.2.2 Oxygen Removal Unit	22
3.2.3 TGA Reactor	24
3.2.4 Gas Analysis Section	24
3.3 Experimental Procedure	25
3.4 Intrinsic Kinetic Parameter	26
3.4.1 TOF as a Function of Reaction Temperature	26
3.4.2 TOF as a Function of NO or N <sub>2</sub> O Concentration	27
<b>IV RESULTS AND DISCUSSION</b>	<b>29</b>
4.1 Carbon-Nitric Oxide Reaction	29
4.1.1 Determination of TOF	29
4.1.2 Effect of Temperature and NO Concentration on TOF	30
4.1.3 Kinetic Studies	31
4.1.3.1 Activation Energy	31

**ต้นฉบับ หน้าขาดหาย**

## LIST OF TABLES

TABLE	PAGE
2.1 Estimated anthropogenic NO <sub>x</sub> emissions in the United States in 1976, expressed as NO <sub>2</sub> .	6
2.2 Estimated amounts of N <sub>2</sub> O emitted by various human activities.	7
3.1 Physical properties of Micro 850 graphite sample used.	21
3.2 The experimental conditions for studying the graphite gasification in nitric oxide.	27
3.3 The experimental conditions for studying the graphite gasification in nitrous oxide.	28
4.1 The activation energy for the carbon-NO reaction in the temperature range of 500-750 °C by using Micro 850 graphite.	35
4.2 Comparison of kinetic parameters of the carbon-NO reaction using Micro 850 graphite with other studies.	39
4.3 The activation energy for the carbon-N <sub>2</sub> O reaction in the temperature range of 500-750 °C by using Micro 850 graphite.	44
4.4 Comparison of kinetic parameters of the N <sub>2</sub> O-carbon reaction (using Micro 850 graphite) with other studies.	46
B-1 TOF for carbon-NO reaction at various temperatures (6%, NO concentration, Micro 850 graphite).	56
B-2 TOF for carbon-NO reaction at various temperatures (20%, NO concentration, Micro 850 graphite).	57

TABLE	PAGE
B-3      TOF for carbon-NO reaction at various temperatures (40%, NO concentration, Micro 850 graphite).	58
B-4      Comparison of TOF for Micro 850 graphite with SP-1 and Micro 450 graphites at various temperatures in carbon-NO (6% NO concentration).	59
B-5      TOF for carbon-N <sub>2</sub> O reaction at various temperatures (6%, NO concentration, Micro 850 graphite).	60
B-6      TOF for carbon-N <sub>2</sub> O reaction at various temperatures (12%, NO concentration, Micro 850 graphite).	61
B-7      TOF for carbon-N <sub>2</sub> O reaction at various temperatures (20%, NO concentration, Micro 850 graphite).	62

## LIST OF FIGURES

FIGURE	PAGE
2.1 The role played by NO and N <sub>2</sub> O in the greenhouse effect and in ozone layer depletion.	4
2.2 Formation and reduction of NO and N <sub>2</sub> O during combustion of coal.	8
2.3 Crystal structure of diamond.	13
2.4 Hexagonal form of graphite.	14
3.1 Schematic diagram of the experimental apparatus used.	23
3.2 The parts of the TGA 2950 Module.	24
4.1 Typical TGA result of NO reduction on Micro 850 graphite.	29
4.2 Effect of gasification temperature and NO concentration on TOF for Micro 850 graphite.	30
4.3 Arrhenius plot of Micro 850 graphite at 6 % NO concentration.	32
4.4 Arrhenius plot of Micro 850 graphite at 20% NO concentration.	35
4.5 Arrhenius plot of Micro 850 graphite at 40 % NO concentration.	35
4.6 Correlations between NO partial pressure and TOF for NO reduction on Micro 850 graphite in the temperature range of 500-750 °C.	37

FIGURE	PAGE
4.7 Comparison of break temperatures in SP-1, Micro 450, and Micro 850 graphites at 6% NO concentration.	40
4.8 Typical TGA result of N <sub>2</sub> O reduction on Micro 850 graphite.	41
4.9 Effect of reaction temperature and N <sub>2</sub> O concentration on TOF for N <sub>2</sub> O reduction on Micro 850 graphite.	42
4.10 Arrhenius plot of Micro 850 graphite at 6%, 12%, and 20% N <sub>2</sub> O concentration.	43
4.11 Correlations between N <sub>2</sub> O partial pressure and TOF for N <sub>2</sub> O reduction on Micro 850 graphite in the range temperature of 500-750 °C.	45
4.12 Arrhenius plots of Micro 850 graphite for carbon-NO reaction and carbon-N <sub>2</sub> O reaction at a reactant concentration of 6%.	47
4.13 Arrhenius plots of Micro 850 graphite for carbon-NO reaction and carbon-N <sub>2</sub> O reaction at a reactant concentration of 20%.	47